



1328-IB-9411-GS.- Berrocal de Cuarzodioritas en las proximidades de Santa Cruz de la Sierra.



1328-IB-9412.-GS.- Relieve estructural de las Cuarzodioritas del
pico de Santa Cruz de la Sierra.



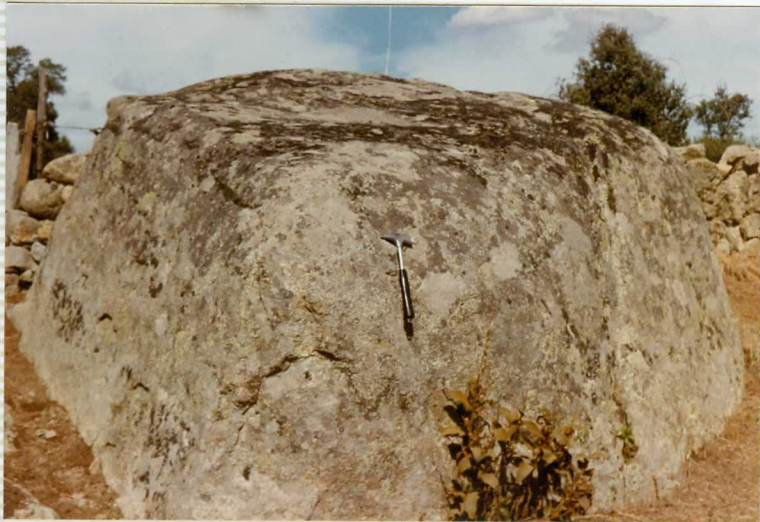
1328-IB-9413-GS.- Relieve estructural del las Cuarzodioritas del pico de Santa Cruz de la Sierra.



1328-IB-9415-6S.- Disyunción planar de un "bolo" de diabasa.



1328-IB-9416-GS.- Disyunción planar en las diabasas. Detalle.



1328-IB-9422-GS.- Aspecto frecuente del diaclasado concéntricos de los afloramientos de Cuarzodiorita. Proximidades de Conquista de la Sierra.



1328-IB-9423-GS.- Relieve del filón de Cuarzo-Albita. Sur de Con
quista de la Sierra.



1328-IB-9425-GS.- Afloramiento frecuente de granito porfírico .
Proximidades de Trujillo.



1328-IB-9426-GS.- Detalle del granito Porfirico. Orientación de megacristales de feldespatos.



1328-IB-9427-GS.- Berrocal propio del granito porfirico.

1328-IB-9431-GS.-- Detalle del granito porfirico. Borde del batolito.





1328-IB-9432-GS.- Aspecto redondeado de un afloramiento de granito porfirico.



1328-IB-9433-GS.- Aspecto del berrocal mas común del granito porfirico en el borde del batolito.



1328-IB-9434-GS.- Contacto entre la cuarzdiorita y el Precámbrico.
Proximidades de Conquista de la Sierra.



1328-IB-9435-GS.- Penillanura de cuarzodioritas destacando al fondo la Sierra de Santa Cruz.



1328-IB-9437-GS.- Penillanura de las cuarzodioritas destacando el relieve del filon de cuarzo - albita.

1328-IB-9438-GS. - Conglomerado en el Precámbrico.





1328-IB-9439-65. - Conglomerado en el Precámbrico.



1328-IB-9440-GS.- Conglomerado grauváquico en el Precámbrico.



1328-IB-9442-GS.- Dique de riolitas alterado.



1328-IB-9443-GS.- Dique de Riolitas alterado.



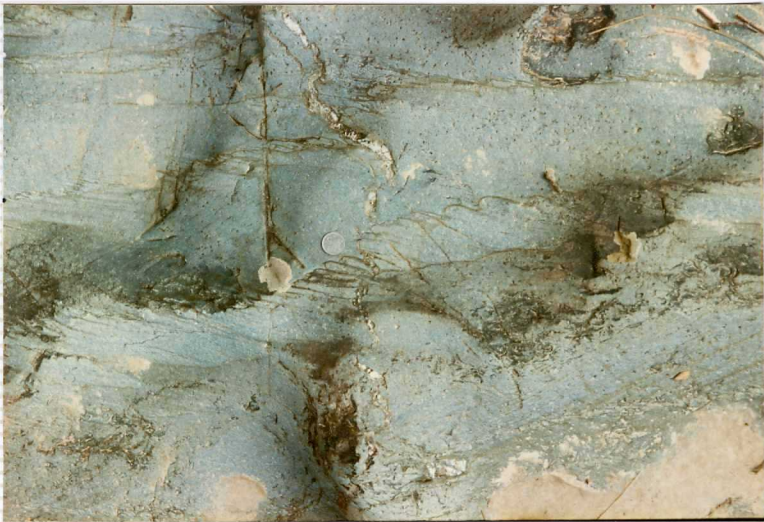
1328-IB-9444-GS.- "Pliegue intrafoliar precámbrico. S_1 , muy visible, afectando al pliegue.



1328-IB-9445-GS.- Conjunto de varios pliegues intrafoliares afectados por la esquistosidad principal.



1328-IB-9446-GS.- Observación de 2 esquistosidades: La 1ª pre-cámbrica. La 2ª es la principal (1ª Hercílica) y afecta a la anterior.



1328-IB-9447-GS.- "Micromullions" afectados por la esquistosidad principal.



1328-IB-9448-GS.- Pliegue precámbrico plegado por otro de 1ª fase hercínica.



1328-IB-9449-GS.- Ampliación del pliegue anterior.



1328-IB-9450-GS.- Detalle del pliegue anterior. La esquistosidad de 1ª fase hercínica crenula a la anterior, precámbrica.



1328-IB-9451-GS.- Pliegues de 1ª fase hercínica con ejes buzando 45°. (Proximidades del cementerio de Garciaz).



1328-IB-9452-GS.- Detalle del anterior. Esquistosidad de fractura vertical. (1ª fase Hercílica).



1328-IB-9453-GS.- Microplegues de 1ª fase hercínica. Fuerte esquis-
tosidad de fractura, subvertical. Proximidades del cementerio de —
Garciaz.



1328-IB-9454-GS.- Micropliegues de 1ª fase hercínica. Fuerte esquis_tosidad de fractura, subvertical. Proximidades del cementerio de -- Garciaz.



1328-IB-9456.- GS.- Pliegues intrafoliares en el Precámbrico (Arroyo de Valvellido).



1328-IB-9456-GS.- Pliegues intrafoliares en el Precámbrico (Arroyo de Valvellido.).